

2. Kurvenanpassung

- 2.1 Approximation
- 2.2 Interpolation
- 2.3 Kennfeldinterpolation

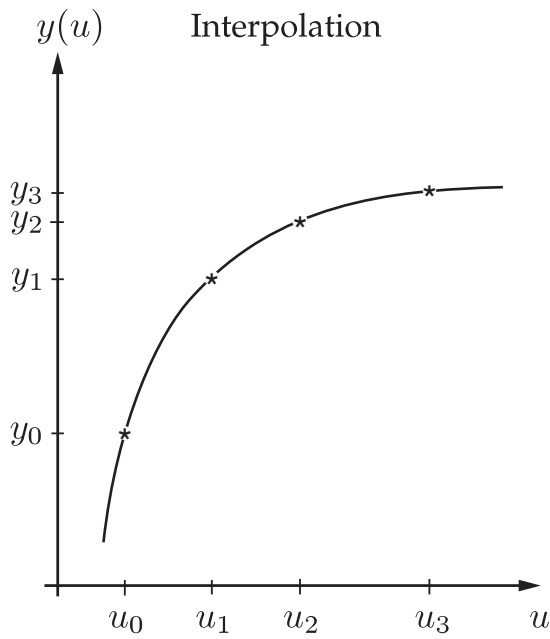
2. Kurvenanpassung

- Oft ist das Modell eines Messsystems unbekannt und die stationäre Kennlinie liegt nur in Form von n Messpunkten vor.

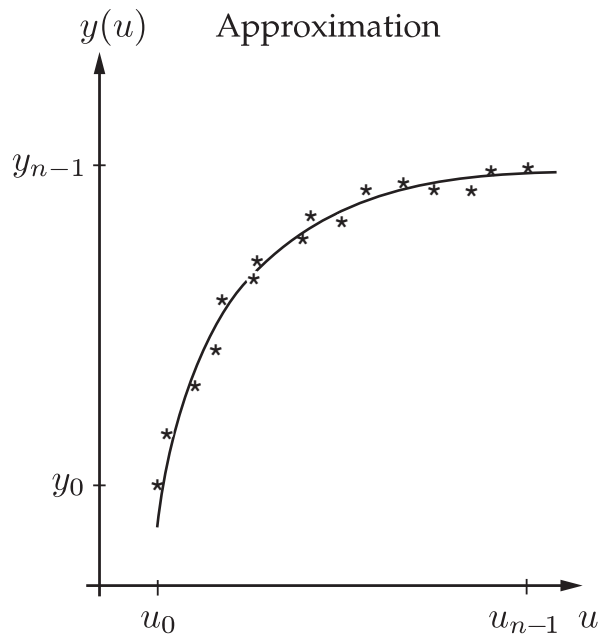
Ziel der Kurvenanpassung ist die Konstruktion einer mathematischen Funktion, die die Messpunkte geeignet nachbildet. Dadurch können für beliebige Zwischenwerte u die zugehörigen Werte y angegeben werden.

Ansätze

1. **Interpolation:** Die Kennlinie soll durch **alle** n Messpunkte gehen.
 - kleines n
2. **Approximation:** Die Summe der Fehlerquadrate soll minimiert werden. Die Kennlinie geht i. d. R. **nicht** durch alle Messpunkte.
 - großes n



→ kleines n



→ großes n

2.1 Approximation

2.1.1 Approximation mit orthonormalen Funktionensystemen

2.1.2 Least-Squares-Schätzer

2.1.3 Regressionsanalyse

Approximation mit Funktionensystemen

- **Ziel:** Darstellung der Kennlinie als **endliche** Reihe analytischer Funktionen (z. B. Polynome, trigonometrische Funktionen):

$$\hat{y}(u) = \sum_{i=0}^{m-1} a_i \varphi_i(u) \quad \text{bzw.} \quad \hat{y}_k = \sum_{i=0}^{m-1} a_i \varphi_i(u_k), \quad k = 0, \dots, n-1$$

- Bestimmung der Koeffizienten a_i über **Minimierung eines Gütemaßes** Q (hier: Energie des Approximationsfehlers):

$$Q = \sum_{k=0}^{n-1} (y_k - \hat{y}_k)^2 \rightarrow \min$$

→ $a_i, \quad i = 0, \dots, m-1$

- Berechnung der Koeffizienten a_i unter Umständen aufwendig

- Bei Verwendung einer **orthonormalen Basis**

$$\langle \varphi_i(u_k), \varphi_j(u_k) \rangle = \sum_{k=0}^{n-1} \varphi_i(u_k) \varphi_j^*(u_k) = \delta_{ij} = \begin{cases} 1 & , \quad i = j \\ 0 & , \quad i \neq j \end{cases}$$

werden die im Sinne des Gütemaßes Q optimalen **Koeffizienten** a_i einfach durch **Projektion** berechnet [SuS, Kap. 2]:

$$a_i = \langle y_k, \varphi_i(u_k) \rangle = \sum_{k=0}^{n-1} y_k \varphi_i^*(u_k)$$

Weitere Vorteile orthogonaler Basen

- Da die Koeffizienten a_i nur von den jeweiligen Basisfunktionen abhängen, bleiben diese beim Hinzunehmen weiterer Funktionen **unverändert**
- Mit wachsendem Grad m der Funktionenreihe wird der Approximationsfehler wegen der Bessel'schen Ungleichung geringer [SuS, Kap. 2]:

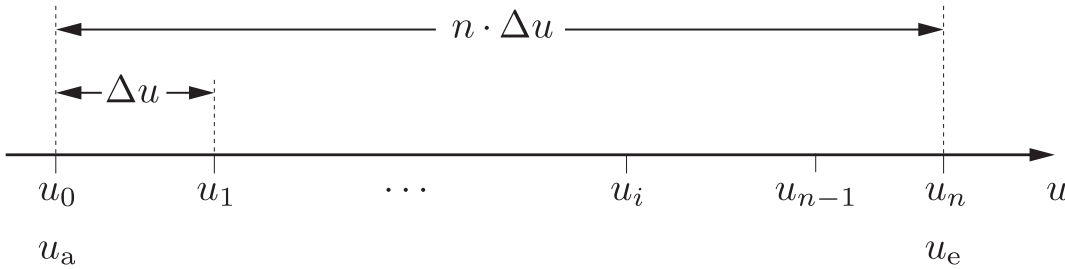
$$Q = \|y_k\|^2 - \|a_i\|^2$$

Beispiel: Orthonormales Funktionensystem

- Funktionen der Fourier-Reihe:

$$F_i(u) = \frac{1}{\sqrt{n}} \cdot e^{j2\pi i \frac{u-u_a}{u_e-u_a}}$$

- Die Funktionen $F_i(u_k)$ bilden im Messbereichsintervall $[u_a, u_e]$ bei äquidistanten Stützstellen im Abstand Δu ein orthonormales Funktionensystem:



Intervallbreite: $(u_e - u_a) = n \cdot \Delta u$

k -te Stützstelle: $u_k = k \cdot \Delta u + u_a$

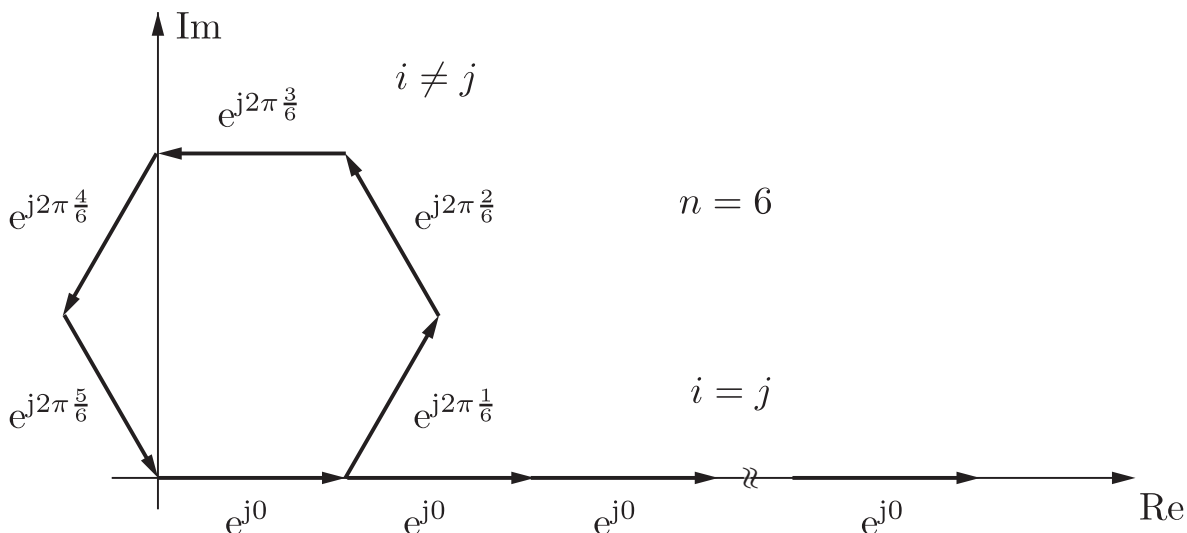


$$\frac{u_k - u_a}{u_e - u_a} = \frac{k}{n}$$

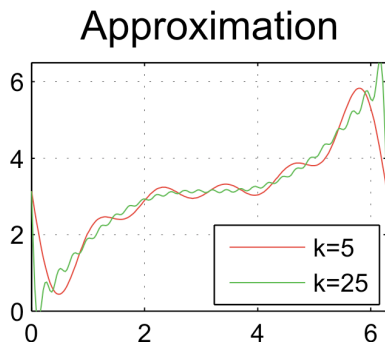
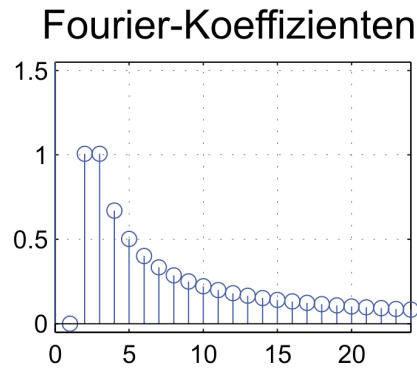
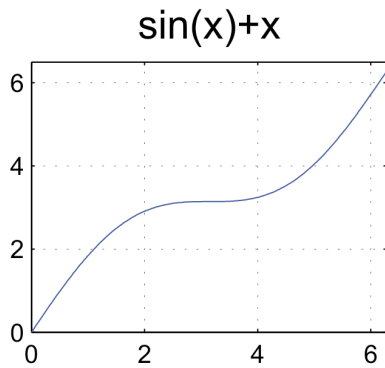
- Durch das Innenprodukt lässt sich die Orthogonalität zeigen:

$$\langle F_i(u_k), F_j(u_k) \rangle = \sum_{k=0}^{n-1} F_i(u_k) \cdot F_j^*(u_k) = \frac{1}{n} \sum_{k=0}^{n-1} e^{j2\pi(i-j)\frac{k}{n}} = \delta_{ij}$$

- Veranschaulichung in der komplexen Ebene:



Beispiel: Approximation mit den Fourier-Koeffizienten



Eigenschaften

- Periodizität
- Oszillationen

2.1.2 Least-Squares-Schätzer

- Vielfach **allgemeine** (nicht orthogonale) **Basisfunktionen** erwünscht

Zur Bestimmung der Koeffizienten a_i wird bei **nicht orthogonalen** Basisfunktionen $\varphi_i(u)$ der **Least-Squares-Schätzer** verwendet

- Ansatz (Energie des Approximationsfehlers) in Vektorschreibweise:

$$Q = \sum_{k=0}^{n-1} (y_k - \hat{y}_k)^2 = (\mathbf{y} - \hat{\mathbf{y}})^T (\mathbf{y} - \hat{\mathbf{y}}) \rightarrow \min$$

- Messpunkte liegen diskret vor \rightarrow Approximationsansatz in Matrixnotation:

$$\hat{\mathbf{y}} = \begin{bmatrix} \hat{y}_0 \\ \vdots \\ \hat{y}_{n-1} \end{bmatrix} = \begin{bmatrix} \varphi_0(u_0) & \cdots & \varphi_{m-1}(u_0) \\ \vdots & \ddots & \vdots \\ \varphi_0(u_{n-1}) & \cdots & \varphi_{m-1}(u_{n-1}) \end{bmatrix} \cdot \begin{bmatrix} a_0 \\ \vdots \\ a_{m-1} \end{bmatrix} = \Phi \mathbf{a}$$

$\rightarrow Q = (\mathbf{y} - \Phi \mathbf{a})^T (\mathbf{y} - \Phi \mathbf{a}) = \mathbf{y}^T \mathbf{y} - 2\mathbf{a}^T \Phi^T \mathbf{y} + \mathbf{a}^T \Phi^T \Phi \mathbf{a}$

- Minimierung des Gütemaßes zur Bestimmung von \mathbf{a} :

$$\frac{dQ}{d\mathbf{a}} = -2\Phi^T \mathbf{y} + 2\Phi^T \Phi \mathbf{a} = 0$$

$$\rightarrow \mathbf{a} = (\Phi^T \Phi)^{-1} \Phi^T \mathbf{y}$$

- ➔ Der Parametervektor \mathbf{a} berechnet sich aus der **Pseudoinversen** von Φ (Verallgemeinerung für nichtquadr. Matrizen) und dem Messpunktevektor

Diskussion

- LS-Schätzer hat eine große praktische Bedeutung, um Kennlinien oder Signalverläufe aus stark verrauschten Daten zu bestimmen (Regressionsrechnung)
- LS-Schätzer ist ein **Optimalfilter**
- Voraussetzung für den erfolgreichen Einsatz ist das Vorhandensein von Vorwissen über den Kennlinienverlauf (sog. **Signalmodell**), welches in die Matrix Φ der Basisfunktionen eingeht

2.1.3 Regressionsanalyse

Beispiel: Lineare Regression

- Gesucht: Gerade durch eine Menge von Messpunkten

$$\hat{y}(u) = a_1 u + a_0$$

- Gütemaß: $Q = \sum_{k=0}^{n-1} (y_k - a_1 u_k - a_0)^2$

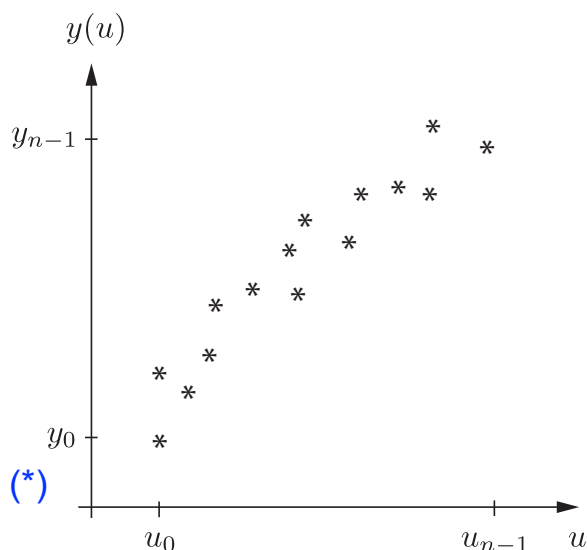
- Minimierung:

$$\frac{dQ}{da_1} = -2 \sum_{k=0}^{n-1} u_k (y_k - a_1 u_k - a_0) \stackrel{!}{=} 0$$

$$\frac{dQ}{da_0} = -2 \sum_{k=0}^{n-1} (y_k - a_1 u_k - a_0) \stackrel{!}{=} 0$$

$$\rightarrow a_1 \sum_{k=0}^{n-1} u_k^2 + a_0 \sum_{k=0}^{n-1} u_k = \sum_{k=0}^{n-1} u_k y_k \quad (*)$$

$$a_1 \sum_{k=0}^{n-1} u_k + n a_0 = \sum_{k=0}^{n-1} y_k \quad (**)$$



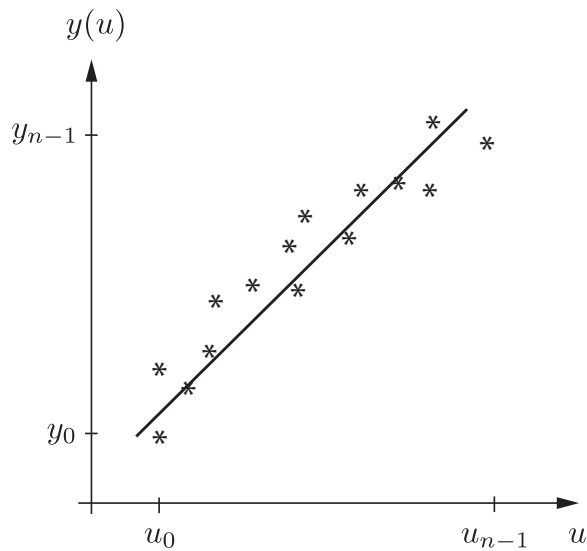
2.1.3 Regressionsanalyse

- Auflösen von (**) nach dem Parameter a_0 :

$$a_0 = \frac{1}{n} \sum_{k=0}^{n-1} y_k - a_1 \cdot \frac{1}{n} \sum_{k=0}^{n-1} u_k$$

- Einsetzen in (*) und Auflösen nach a_1 ergibt:

$$a_1 = \frac{n \cdot \sum_{k=0}^{n-1} u_k y_k - \sum_{k=0}^{n-1} u_k \sum_{k=0}^{n-1} y_k}{n \cdot \sum_{k=0}^{n-1} u_k^2 - \left(\sum_{k=0}^{n-1} u_k \right)^2}$$



- Regressionsrechnung liefert **gleiches Ergebnis** wie der LS-Schätzer

2.1.3 Regressionsanalyse

Alternative Vorgehensweise

- Direkte Verwendung der Gleichung für den LS-Schätzer:

$$\mathbf{a} = (\Phi^T \Phi)^{-1} \Phi^T \mathbf{y}$$

- Signalmodell $\hat{y}(u_k) = a_1 u_k + a_0$ in Matrixnotation:

$$\hat{\mathbf{y}} = \begin{bmatrix} \hat{y}_0 \\ \vdots \\ \hat{y}_{n-1} \end{bmatrix} = \begin{bmatrix} 1 & u_0 \\ \vdots & \vdots \\ 1 & u_{n-1} \end{bmatrix} \cdot \begin{bmatrix} a_0 \\ a_1 \end{bmatrix} = \Phi \mathbf{a}$$

- Es können natürlich auch Polynome höheren Grades verwendet werden!

Beim Least-Squares-Schätzer müssen **alle** Koeffizienten a_k neu berechnet werden, wenn die Ordnung des Regressionspolynoms erhöht wird.

2.2 Interpolation

- 2.2.1 Polynominterpolation
- 2.2.2 Interpolation durch Lagrange-Polynome
- 2.2.3 Interpolation durch Newton-Polynome
- 2.2.4 Spline-Interpolation

2.2.1 Polynominterpolation

- **Annahme:** wenige Punkte einer Kennlinie gegeben → **Interpolation**

Bei der Interpolation werden die Messwerte (u_k, y_k) der Kennlinie in den Stützstellen **exakt** wiedergegeben.

- Meist **Polynomansatz** in der Messgröße u :

$$\hat{y}(u) = \sum_{i=0}^{n-1} a_i u^i = \mathbf{a}^T \mathbf{p} \quad (2.37)$$

mit \mathbf{a} : Koeffizienten, $\mathbf{p} = (1, u, \dots, u^{n-1})^T$: Potenzen u^i von u

- **Vorgehensweise:** Bestimmung der n Koeffizienten a_i durch n Gleichungen in den Stützstellen (Wertepaare u_k, y_k):

$$y_k(u_k) = \sum_{i=0}^{n-1} a_i u_k^i, \quad k \in \{0, \dots, n-1\}$$

- Gleichungssystem lässt sich in Matrixschreibweise formulieren:

$$\mathbf{y} = \begin{pmatrix} y_0 \\ y_1 \\ \vdots \\ y_{n-1} \end{pmatrix} = \begin{pmatrix} 1 & u_0 & u_0^2 & \cdots & u_0^{n-1} \\ 1 & u_1 & u_1^2 & \cdots & u_1^{n-1} \\ \vdots & \vdots & \vdots & \ddots & \vdots \\ 1 & u_{n-1} & u_{n-1}^2 & \cdots & u_{n-1}^{n-1} \end{pmatrix} \cdot \begin{pmatrix} a_0 \\ a_1 \\ \vdots \\ a_{n-1} \end{pmatrix} = \mathbf{V} \cdot \mathbf{a}$$

\mathbf{V} : Vandermonde-Matrix

- Die Matrix \mathbf{V} ist invertierbar (regulär), falls die u_i paarweise verschieden sind – und ferner gut konditioniert, wenn die Stützstellen hinreichend weit auseinander liegen. Dann lassen sich die Koeffizienten berechnen:

$$\mathbf{a} = \mathbf{V}^{-1} \mathbf{y}$$

- Interpolationsgleichung:

$$\hat{y} = \mathbf{a}^T \mathbf{p} = \mathbf{p}^T \mathbf{a} = \mathbf{p}^T \mathbf{V}^{-1} \mathbf{y}$$

2.2.2 Interpolation durch Lagrange-Polynome

- In der Praxis arbeitet man lieber mit **Lagrange-Polynomen**
- **Grund:** Dank komplexerer Basispolynome $L_i(u)$ anstelle der Monome u^i werden Lagrange-Polynome direkt mit den Messwerten y_i gewichtet
→ keine Berechnung der Koeffizienten erforderlich:

Ansatz:
$$\hat{y} = \sum_{i=0}^{n-1} y_i L_i(u)$$

$L_i(u)$: Polynom in u (Lagrange-Polynom)

Vektorschreibweise:
$$\hat{y} = \mathbf{L}^T \mathbf{y}$$

→
$$\mathbf{L} = (\mathbf{V}^{-1})^T \mathbf{p}$$

Lagrange-Polynome:
$$L_i(u) = \frac{(u-u_0) \cdots (u-u_{i-1})(u-u_{i+1}) \cdots (u-u_{n-1})}{(u_i-u_0) \cdots (u_i-u_{i-1})(u_i-u_{i+1}) \cdots (u_i-u_{n-1})}$$

Vergleich:

$$\hat{y}(u) = \sum_{i=0}^{n-1} a_i u^i$$

$$\hat{y} = \mathbf{a}^T \mathbf{p} = \underbrace{\mathbf{p}^T \mathbf{V}^{-1}}_{\mathbf{L}^T} \mathbf{y}$$

Lagrange-Polynome:

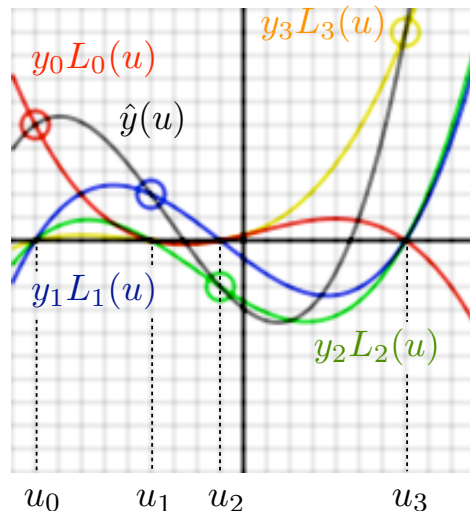
$$L_i(u) = \frac{(u - u_0) \cdots (u - u_{i-1})(u - u_{i+1}) \cdots (u - u_{n-1})}{(u_i - u_0) \cdots (u_i - u_{i-1})(u_i - u_{i+1}) \cdots (u_i - u_{n-1})}$$

Eigenschaft:

$$L_i(u_j) = \delta_{ij}$$

➔ Die Stützstellen eines Lagrange-Polynoms werden exakt interpoliert:

$$\hat{y}(u_j) = \sum_{i=0}^{n-1} y_i L_i(u_j) = y_j$$



Quelle: Wikipedia

Beispiel 2.1: Lagrange-Interpolation mit drei Stützstellen

- Kennlinie sei durch drei **äquidistante** Stützstellen u_a, u_m, u_e gegeben ($h = u_a - u_m$ beschreibe den Abstand zwischen benachbarten Stützstellen)
- Die **Lagrange-Polynome** sind damit:

$$L_0(u) = \frac{(u - u_m)(u - u_e)}{(u_a - u_m)(u_a - u_e)} = \frac{1}{2h^2} (u - u_m)(u - u_e)$$

$$L_1(u) = \frac{(u - u_a)(u - u_e)}{(u_m - u_a)(u_m - u_e)} = -\frac{1}{h^2} (u - u_a)(u - u_e)$$

$$L_2(u) = \frac{(u - u_a)(u - u_m)}{(u_e - u_a)(u_e - u_m)} = \frac{1}{2h^2} (u - u_a)(u - u_m)$$

■ In die Interpolationsgleichung eingesetzt:

$$\hat{y} = \sum_{i=0}^2 y_i L_i(u) = \frac{y_a}{2h^2} (u - u_m)(u - u_e) - \frac{y_m}{h^2} (u - u_a)(u - u_e) + \frac{y_e}{2h^2} (u - u_a)(u - u_m)$$

$$\hat{y} = \frac{y_a}{2h^2}(u - u_m)(u - u_e) - \frac{y_m}{h^2}(u - u_a)(u - u_e) + \frac{y_e}{2h^2}(u - u_a)(u - u_m)$$

- Für $u_a = 0, y_a = 0$ sowie $u_m = h, u_e = 2h$ folgt die Kennlinie:

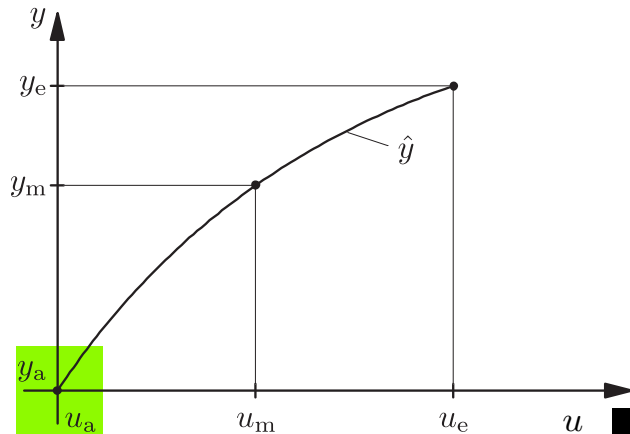
$$\hat{y} = u \left(\frac{2y_m}{h} - \frac{y_e}{2h} \right) + u^2 \left(\frac{y_e}{2h^2} - \frac{y_m}{h^2} \right) \quad (\text{Parabel durch den Ursprung})$$

- Liegen die drei Stützstellen auf einer Geraden,

$$y_m = \frac{y_e}{2},$$

so wird die Kennlinie **linear**:

$$\hat{y}_{\text{lin}} = u \cdot \frac{y_e}{2h}$$



2.2.3 Interpolation durch Newton-Polynome

Warum Newton-Interpolation?

- geringere Komplexität der Basispolynome
- leichtere **Erweiterbarkeit** beim Hinzufügen von Stützstellen

Ansatz:

$$\hat{y} = a_0 + a_1(u - u_0) + a_2(u - u_0)(u - u_1) + \dots + a_{n-1}(u - u_0)(u - u_1) \dots (u - u_{n-2})$$

- Rekursive Berechnung der Koeffizienten a_i aus den Interpolationsbedingungen in den Stützstellen:

$$\begin{aligned} y_0 &= a_0 \\ y_1 &= a_0 + a_1(u_1 - u_0) \\ &\vdots \\ y_{n-1} &= a_0 + a_1(u_{n-1} - u_0) + a_2(u_{n-1} - u_0)(u_{n-1} - u_1) + \dots \\ &\quad + a_{n-1}(u_{n-1} - u_0)(u_{n-1} - u_1) \dots (u_{n-1} - u_{n-2}) \end{aligned}$$

Newton- und Lagrange-Interpolation liefern das gleiche Polynom

2.2.3 Interpolation durch Newton-Polynome

- Zur einfachen Berechnung der Koeffizienten bei **äquidistanten Stützstellen** werden **Differenzen** von Funktionen eingeführt

- Erste Differenzen: $\Delta y_0 = y_1 - y_0, \Delta y_1 = y_2 - y_1, \Delta y_2 = y_3 - y_2, \dots$

- Zweite Differenzen: $\Delta^2 y_0 = \Delta y_1 - \Delta y_0 = y_2 - 2y_1 + y_0$
 $\Delta^2 y_1 = \Delta y_2 - \Delta y_1 = y_3 - 2y_2 + y_1$

- Höhere Differenzen: $\Delta^j y_i = \Delta^{j-1}(\Delta y_i) = \Delta^{j-1} y_{i+1} - \Delta^{j-1} y_i$

- Für das Rechnen mit Differenzenoperatoren gilt:

$$y_i = (1 + \Delta)^i y_0$$

Beweis mittels vollständiger Induktion [PK12].

2.2.3 Interpolation durch Newton-Polynome

- Durch Ausmultiplizieren von $y_i = (1 + \Delta)^i y_0$ mit der allgemeinen binomischen Formel erhält man:

$$y_i = y_0 + \frac{i}{1!} \Delta y_0 + \frac{i(i-1)}{2!} \Delta^2 y_0 + \dots + \frac{i(i-1) \dots (i-j+1)}{j!} \Delta^j y_0 + \dots + \Delta^i y_0$$

- Aus dem **Interpolationsansatz** auf Folie 22 folgt bei **konstantem Stützstellenabstand** h :

$$y_0 = a_0$$

$$y_1 = a_0 + a_1 h$$

\vdots

$$y_i = a_0 + a_1 i h + \dots + a_j i(i-1) \dots (i-j+1) h^j + \dots + a_i i! h^i$$

\vdots

$$y_{n-1} = a_0 + a_1 (n-1) h + a_2 (n-1)(n-2) h^2 + \dots + a_n (n-1)! h^n$$

- Durch Vergleich der Koeffizienten vom Grad j erhält man:

$$a_j \cdot i(i-1) \dots (i-j+1) \cdot h^j = i(i-1) \dots (i-j+1) \cdot \Delta^j y_0 / j!$$

2.2.3 Interpolation durch Newton-Polynome

- Daraus folgt für die Koeffizienten des Newton-Polynoms:

$$a_j = \frac{\Delta^j y_0}{j! h^j}$$

- ➔ **Newton'sche Interpolationsformel für äquidistante Stützstellen:**

$$\hat{y} = y_0 + \frac{\Delta y_0}{h}(u-u_0) + \frac{\Delta^2 y_0}{2h^2}(u-u_0)(u-u_1) + \dots + \frac{\Delta^{n-1} y_0}{(n-1)! h^{n-1}}(u-u_0) \cdots (u-u_{n-2})$$

- Die Differenzen höherer Ordnung lassen sich auf einfache Weise aus dem **Differenzenschema** durch fortlaufende Subtraktion bestimmen:

u	y	Δy	$\Delta^2 y$	$\Delta^3 y$	$\Delta^4 y$
0	y_0				
h	y_1	Δy_0			
$2h$	y_2	Δy_1	$\Delta^2 y_0$		
$3h$	y_3	Δy_2	$\Delta^2 y_1$	$\Delta^3 y_0$	
$4h$	y_4	Δy_3	$\Delta^2 y_2$	$\Delta^3 y_1$	$\Delta^4 y_0$

2.2.3 Interpolation durch Newton-Polynome

Beispiel 2.2: Newton-Interpolation mit drei Stützstellen

- Messkennlinie durch drei **äquidistante** Stützstellen u_a, u_m, u_e gegeben:

$$u_a = 0, \quad u_m = h, \quad u_e = 2h, \quad y_a = 0$$

- Differenzenschema:

u	y	Δy	$\Delta^2 y$
0	y_a		
h	y_m	$y_m - y_a$	
$2h$	y_e	$y_e - y_m$	$y_e - 2y_m + y_a$

- Interpolationsfunktion:

$$\hat{y} = \frac{y_m}{h}u + \frac{y_e - 2y_m}{2h^2}u(u-h)$$

➔ Ergebnis stimmt mit dem aus Bsp. 2.1 überein!

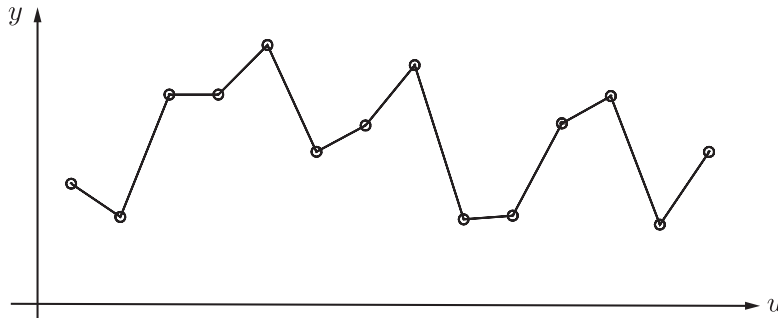
- Nachteil der **klassischen** Polynominterpolation:

Bei **vielen Stützstellen** erhält man Interpolationspolynome **hohen Grades** (→ stark oszillierendes Verhalten)

- **Abhilfe:** Den Teilintervallen zwischen Stützstellen werden Polynome **niedrigen** Grades zugeordnet

Einfachstes Verfahren: Lineare Interpolation

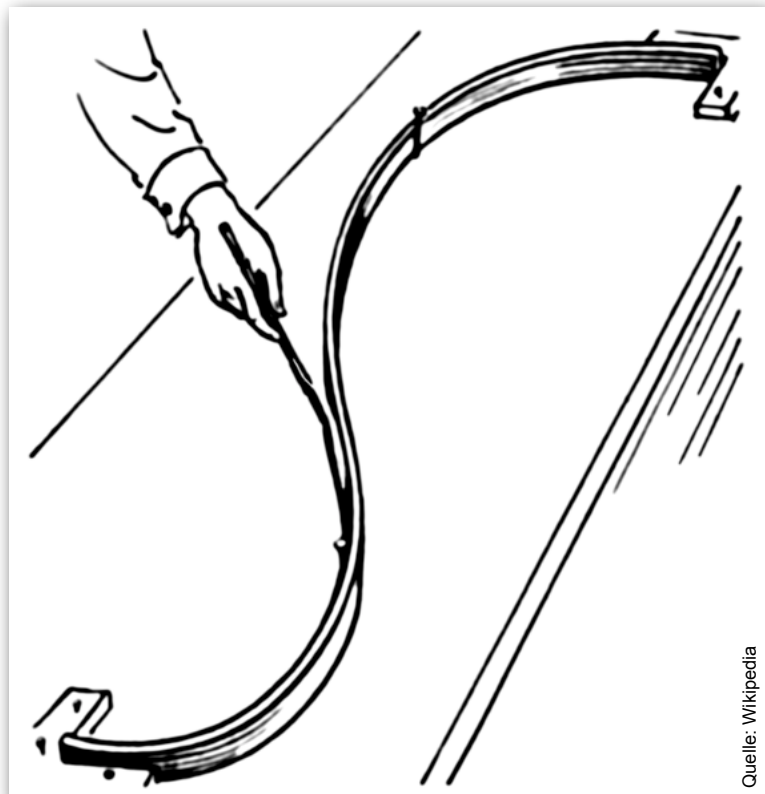
- Bei n Messpunkten besteht die Interpolationsfunktion aus $n - 1$ Geradenstücken in den Intervallen $[u_i, u_{i+1}]$, $i \in \{0, \dots, n - 2\}$



→ für Kennlinien unbrauchbar, da Ableitung („Empfindlichkeit“) unstetig

Spline-Funktionen

- Inspiriert durch biegsame, im Schiffbau eingesetzte Lineale
- An den Stützstellen wird eine dünne Latte fixiert; es wirken **keine** weiteren äußeren Kräfte auf die Latte ein
- Die Latte verformt sich und es entsteht eine **glatte** Biegelinie durch alle Stützstellen mit **minimaler Biegeenergie** und **kleinen Krümmungen** – die Interpolierende $s(u)$



Quelle: Wikipedia

Spline-Funktionen

- Vorteilhaft an den Spline-Funktionen ist, dass die Wendepunkte (Stellen maximaler Linearität) i. d. R. zwischen den Stützstellen liegen; bei der Polynominterpolation liegen sie dagegen nahe an den Stützstellen
- Die aufgrund der Biegekraft **in der Latte gespeicherte Energie** ist proportional zum Integral über das Quadrat der „**Krümmung**“:

$$E = \frac{1}{2} \int_{u_0}^{u_{n-1}} (s''(u))^2 du$$

- Der stabile Arbeitspunkt stellt sich bei einer **minimalen** Energie ein:

$$\int_{u_0}^{u_{n-1}} (s''(u))^2 du \rightarrow \min \quad (2.84)$$

- Die gesuchte Spline-Funktion $s(u)$ minimiert die Energie unter der Voraussetzung, dass $s(u)$ **mindestens einmal stetig differenzierbar** ist

2.2.4 Spline-Interpolation

- Durch Variationsrechnung erhält man aus dem Energieminimierungsansatz (2.84) folgende **Eigenschaften der Spline-Interpolierenden**:

$$s_i(u_i) = y_i, \quad i \in \{0, \dots, n-1\}$$

Interpolationsbedingung

$$s_i''(u_i + 0) = s_{i-1}''(u_i - 0), \quad i \in \{1, \dots, n-2\}$$

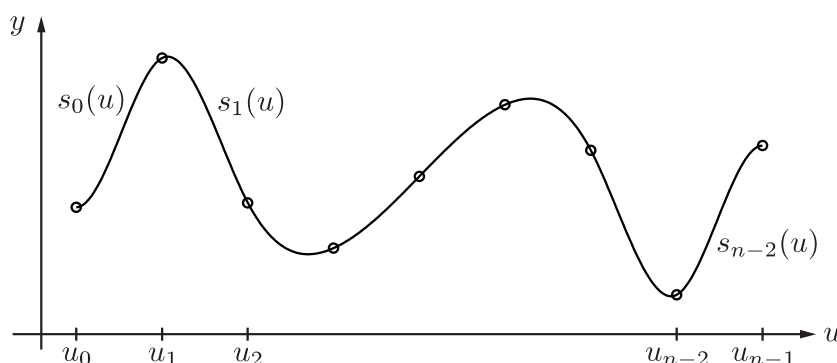
stetige 2. Ableitung

$$s_0''(u_0) = s_{n-2}''(u_{n-1})$$

Randbed. für 2. Ableitung

$$s'''(u) = 0, \quad u \neq u_0, \dots, u_{n-1}$$

kubische Polynome



Berechnung der kubischen Spline-Interpolierenden:

Für jedes Intervall $[u_i, u_{i+1}]$ der Länge $h_i = u_{i+1} - u_i$ wird als Ansatz ein **Polynom 3. Grades** gewählt

$$s_i(u) = a_i(u - u_i)^3 + b_i(u - u_i)^2 + c_i(u - u_i) + d_i$$

■ Funktionswerte und erste beiden Ableitungen an den Stützstellen:

$$\begin{aligned} s_i(u_i) &= d_i & &= y_i \\ s_i(u_{i+1}) &= a_i h_i^3 + b_i h_i^2 + c_i h_i + d_i & &= y_{i+1} \\ s_i'(u_i) &= c_i \\ s_i'(u_{i+1}) &= 3 a_i h_i^2 + 2 b_i h_i + c_i \\ s_i''(u_i) &= 2 b_i & &= y_i'' \\ s_i''(u_{i+1}) &= 6 a_i h_i + 2 b_i & &= y_{i+1}'' \end{aligned}$$

→ Auflösen nach den unbekanntem Parametern a_i, b_i, c_i und d_i

→ Alle **unbekannten Parameter** a_i, b_i, c_i und d_i können durch die gegebenen **Stützpunkte** y_i und y_{i+1} sowie die **noch unbekanntem zweiten Ableitungen** y_i'' und y_{i+1}'' ausgedrückt werden:

$$a_i = \frac{1}{6h_i} (y_{i+1}'' - y_i'')$$

$$b_i = \frac{1}{2} y_i''$$

$$c_i = \frac{1}{h_i} (y_{i+1} - y_i) - \frac{1}{6} h_i (y_{i+1}'' + 2y_i'')$$

$$d_i = y_i$$

Berechnung der zweiten Ableitungen:

- Forderung nach **Stetigkeit** der ersten Ableitung an den Stützstellen:

$$s'_i(u_{i+1}) = s'_{i+1}(u_{i+1})$$

- Nach Einsetzen der Parameter a_i , b_i und c_i in die Ableitungen folgt:

$$s'_i(u_{i+1}) = \frac{1}{h_i} (y_{i+1} - y_i) + \frac{h_i}{6} (2y''_{i+1} + y''_i)$$

$$s'_{i+1}(u_{i+1}) = c_{i+1} = \frac{1}{h_{i+1}} (y_{i+2} - y_{i+1}) - \frac{h_{i+1}}{6} (y''_{i+2} + 2y''_{i+1})$$

- Gleichsetzen beider Gleichungen und Ordnen nach den unbekanntem zweiten Ableitungen ergibt:

$$h_i y''_i + 2(h_i + h_{i+1}) y''_{i+1} + h_{i+1} y''_{i+2} = \frac{6}{h_{i+1}} (y_{i+2} - y_{i+1}) - \frac{6}{h_i} (y_{i+1} - y_i)$$

2.2.4 Spline-Interpolation

- Unter Berücksichtigung von $y''_0 = y''_{n-1} = 0$ erhält man $(n - 2)$ lineare Gleichungen für die unbekanntem zweiten Ableitungen $y''_1, y''_2, \dots, y''_{n-2}$:

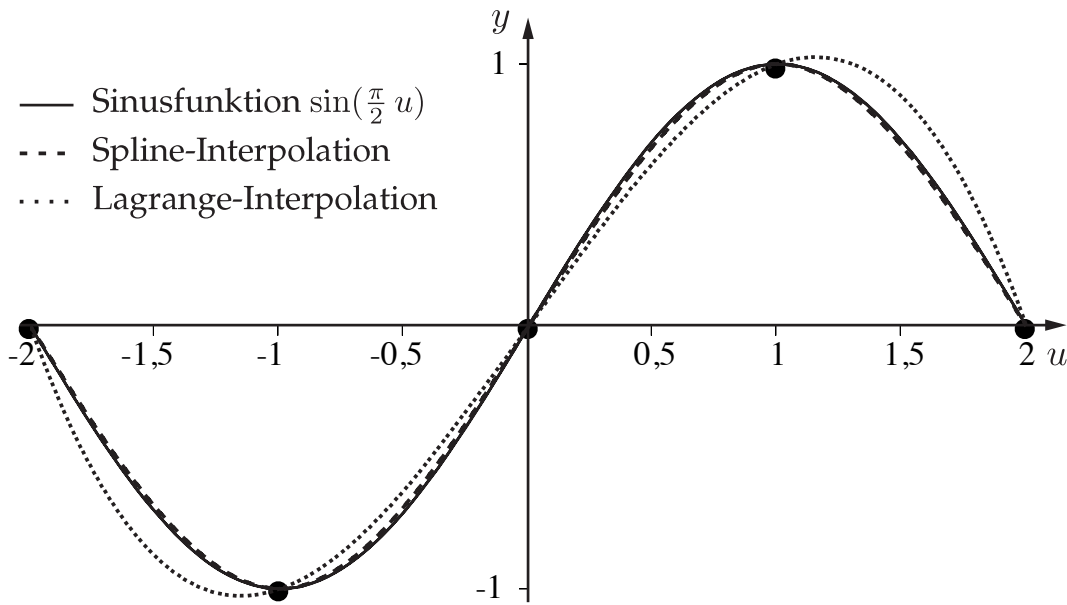
$$\begin{bmatrix} 2(h_0+h_1) & h_1 & 0 & \dots & 0 \\ h_1 & 2(h_1+h_2) & h_2 & 0 & \dots & 0 \\ \vdots & & & \ddots & & \vdots \\ 0 & \dots & 0 & 0 & h_{n-3} & 2(h_{n-3}+h_{n-2}) \end{bmatrix} \begin{bmatrix} y''_1 \\ y''_2 \\ \vdots \\ y''_{n-2} \end{bmatrix} =$$

$$= \begin{bmatrix} \frac{6}{h_1} (y_2 - y_1) - \frac{6}{h_0} (y_1 - y_0) \\ \frac{6}{h_2} (y_3 - y_2) - \frac{6}{h_1} (y_2 - y_1) \\ \vdots \\ \frac{6}{h_{n-2}} (y_{n-1} - y_{n-2}) - \frac{6}{h_{n-3}} (y_{n-2} - y_{n-3}) \end{bmatrix}$$

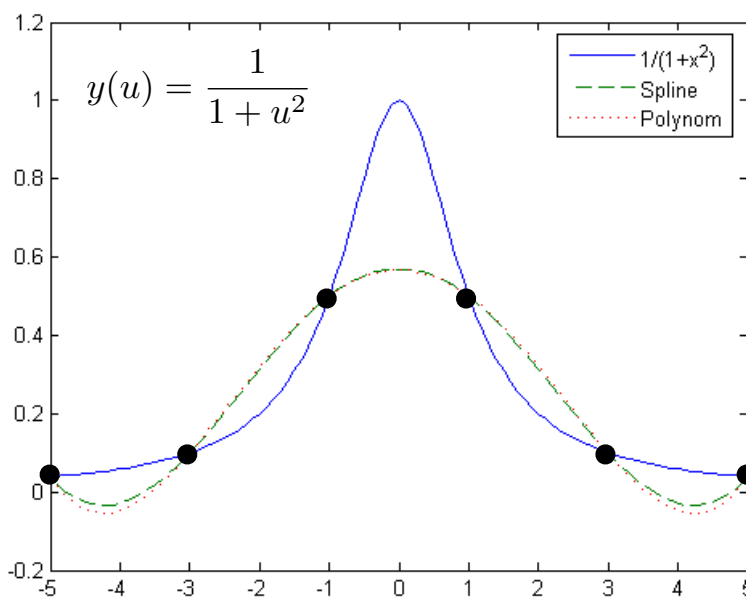
- Nach der Auflösung werden die a_i , b_i und c_i und daraus $s_i(x)$ bestimmt.

Beispiel 2.3: Interpolation einer Sinusfunktion

■ Vergleich von Spline- und Lagrange-Interpolation



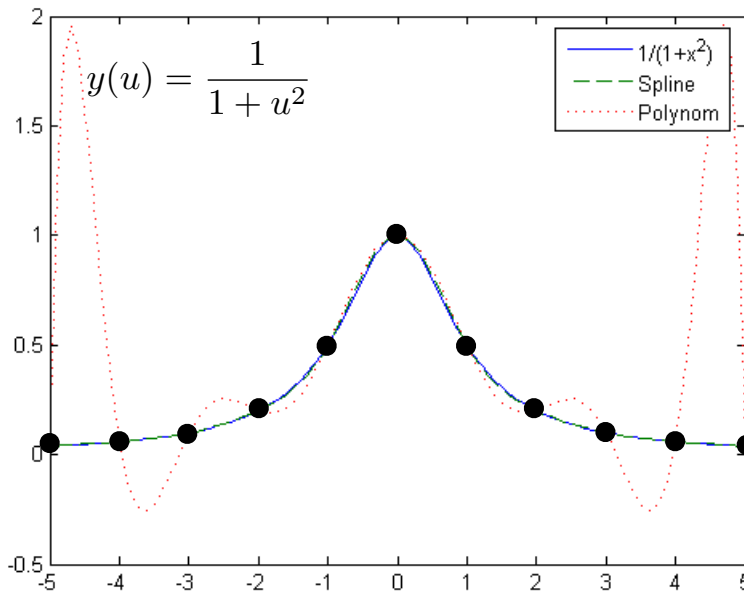
Beispiel: 6-Punkte-Interpolation



Schlechte Interpolation:

- zu wenige Stützstellen
- Spline-Interpolation ähnlich wie Polynominterpolation

Beispiel: 11-Punkte-Interpolation



Mehr Interpolationspunkte:

- Spline-Interpolation mit guten Ergebnissen
- Polynominterpolation mit starkem Überschwingen

2.2.5 Systemtheoretische Deutung der Interpolation

■ Annahme: äquidistante Stützstellen

$$\hat{y}(u) = \left[y(u) \sum_{n=-\infty}^{\infty} \delta(u - n \Delta u) \right] * i(u)$$

⌋
Abtastsignal
Interpolationsfunktion

$$\hat{Y}(f) = \left[\frac{1}{\Delta u} \sum_{k=-\infty}^{\infty} Y \left(f - \frac{k}{\Delta u} \right) \right] \cdot I(f)$$

⌋
Tiefpass-Charakter

Interpolationsart	Ordnung	$i(u)$	$I(f)$
Nächster-Nachbar-Interpolation	0	$\text{rect}\left(\frac{u}{\Delta u}\right)$	$\Delta u \text{sinc}(f \Delta u)$
Lineare Interpolation	1	$\Lambda\left(\frac{u}{\Delta u}\right)$	$\Delta u \text{sinc}^2(f \Delta u)$
Ideale Interpolation	∞	$\text{sinc}\left(\frac{u}{\Delta u}\right)$	$\Delta u \text{rect}(f \Delta u)$

2.3 Kennfeldinterpolation

2.3 Kennfeldinterpolation

- Kennlinie $y = f(u, z)$ eines Systems sei eine nichtlineare Funktion der Messgröße u und einer messbaren systematischen Störgröße z
 → Kompensation der Störgröße z durch Interpolation
- **Voraussetzung:** Kennfeldwerte für genügend Stützstellen (u_i, z_i) bekannt

Die Kennfeldinterpolation ist eine **2D-Interpolation**. Es werden die Werte y zwischen den äquidistanten Stützstellen (u_i, z_j) interpoliert.

- Zur Herleitung der Interpolationsformel wird der Polynomansatz (2.37)

$$\hat{y}(u) = \sum_{i=0}^{n-1} a_i u^i$$

auf zwei Dimensionen erweitert:

$$\hat{y}(u, z) = \sum_{i=0}^{n-1} \sum_{j=0}^{n-1} a_{ij} u^i z^j$$

- Alternativ darf bei **Polynomen 1. Grades** die Ausgangsgröße y an der Stelle (u_i, z_j) in eine Taylor-Reihe entwickelt werden, die nach den linearen Gliedern abgebrochen wird:

$$y(u, z) = f(u_i + \Delta u, z_j + \Delta z) \\ \approx f(u_i, z_j) + \frac{\partial f}{\partial u}(u_i, z_j) \Delta u + \frac{\partial f}{\partial z}(u_i, z_j) \Delta z + \frac{\partial^2 f}{\partial u \partial z}(u_i, z_j) \Delta u \Delta z$$

- Durch **Approximation** der Ableitungen mittels Differenzenquotienten folgt:

$$y(u, z) \approx y(u_i, z_j) + \frac{\Delta y(u_i)}{\Delta u_i} \Delta u + \frac{\Delta y(z_j)}{\Delta z_j} \Delta z + \frac{\Delta^2 y(u_i, z_j)}{\Delta u_i \Delta z_j} \Delta u \Delta z$$

Diese Näherung entspricht einer **bilinearen Interpolation**.

Beispiel 2.4: Bilineare Interpolation

- Die Differenzen lassen sich wie folgt schreiben:

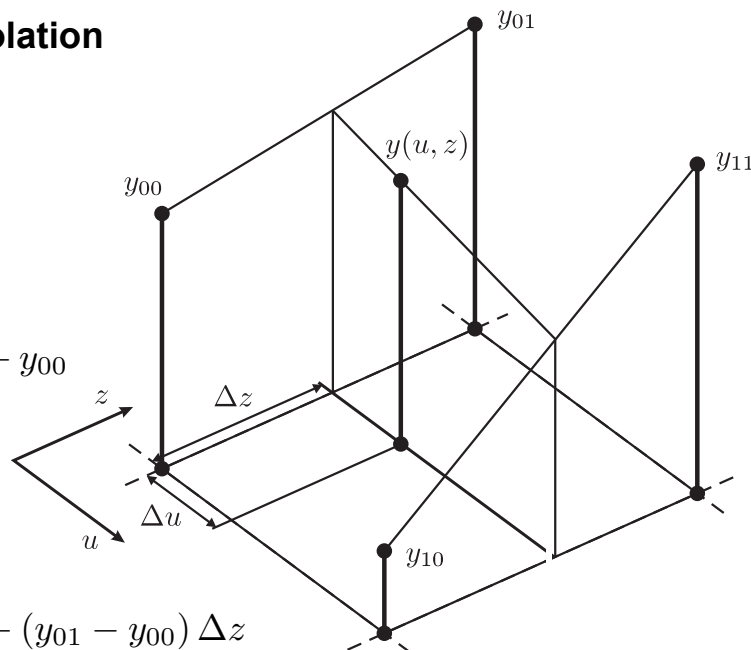
$$\Delta y(u_i) = y_{10} - y_{00}$$

$$\Delta y(z_j) = y_{01} - y_{00}$$

$$\Delta^2 y(u_i, z_j) = y_{11} - y_{10} - y_{01} + y_{00}$$

- Bei normierten Stützstellenweiten $\Delta u_i = \Delta z_j = 1$ folgt:

$$y(u, z) \approx y_{00} + (y_{10} - y_{00}) \Delta u + (y_{01} - y_{00}) \Delta z \\ + (y_{11} - y_{10} - y_{01} + y_{00}) \Delta u \Delta z \\ = y_{00} (1 - \Delta u) (1 - \Delta z) + y_{10} \Delta u (1 - \Delta z) \\ + y_{01} (1 - \Delta u) \Delta z + y_{11} \Delta u \Delta z$$



2.3 Kennfeldinterpolation

Beispiel: Druckmessung mit piezoresistiven Sensoren

■ Temperaturabhängige Kennlinie:

$$p = p(T)$$

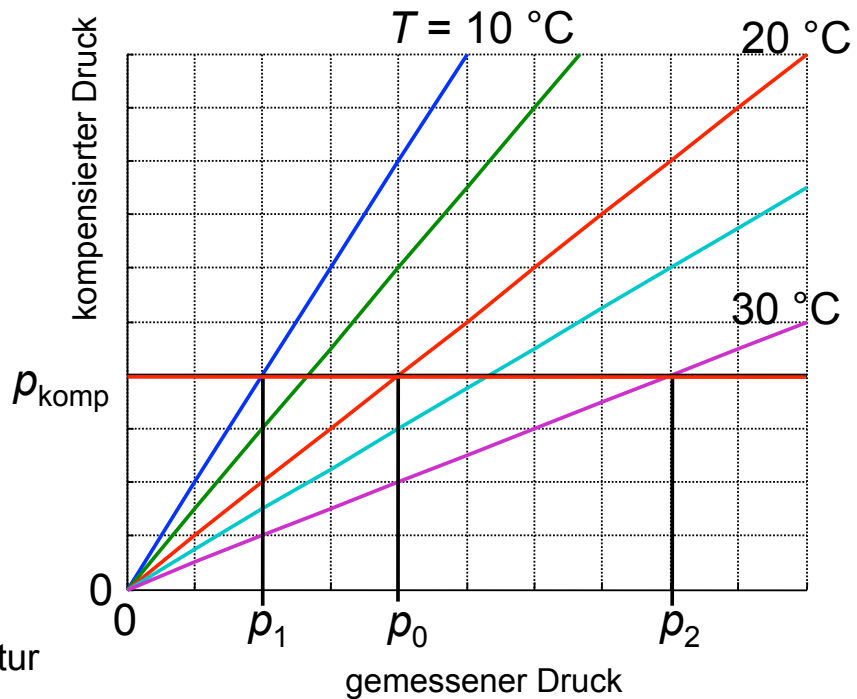
p_0 : Richtiger Druck
bei $T = 20\text{ °C}$

p_1 : Gemessener Druck
bei $T = 10\text{ °C}$

p_2 : Gemessener Druck
bei $T = 30\text{ °C}$

p_{komp} : Gewünschter
Anzeigewert

T : Störgröße Temperatur



2.3 Kennfeldinterpolation

Kompensation der temperaturverfälschten Druckwerte

p_i : Gemessener Druck

T : Störgröße Temperatur

p_{komp} : Anzeigewert

